

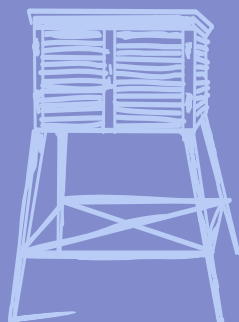
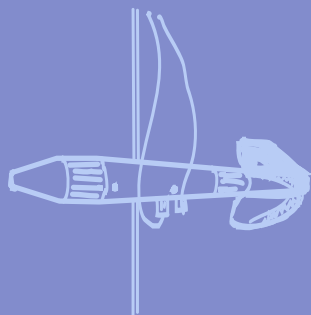
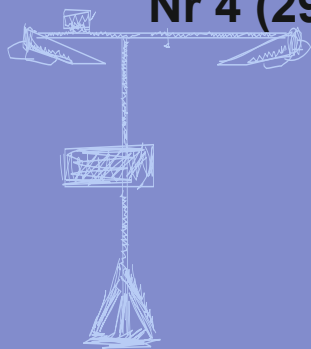
Nr 4 (297)

ISSN 1730-6124

# BIULETYN

PAŃSTWOWEJ SŁUŻBY  
HYDROLOGICZNO-  
METEOROLOGICZNEJ

KWIECIEŃ 2026



INSTYTUT METEOROLOGII I GOSPODARKI WODNEJ  
PAŃSTWOWY INSTYTUT BADAWCZY



Redakcja biuletynu:

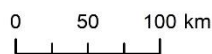
Agnieszka Pietrzykowska  
Sławomir Wereski – redaktor naczelny

Pomiary i obserwacje, których wyniki zamieszczono w Biuletynie wykonywane są przez Państwową Służbę Hydrologiczno-Meteorologiczną IMGW-PIB.

Dane w Biuletynie (meteorologiczne i hydrologiczne) pochodzą z operacyjnej bazy danych i ich wartości mogą ulec zmianie po weryfikacji.



- Warszawa** Siedziba IMGW-PIB
- Gdynia** Siedziba biura terenowego
- CBPM** Centralne Biuro Prognoz Meteorologicznych
- BPM** Biuro Prognoz Meteorologicznych
- BMPM** Biuro Meteorologicznych Prognoz Morskich
- CBHO** Centralne Biuro Hydrologii Operacyjnej
- BPH** Biuro Prognoz Hydrologicznych
- CMPIS** Centrum Modelowania Powodziowego i Suszy
- CBPL-MBN** Centralne Biuro Prognoz Lotniczych - Meteorologiczne Biuro Nadzoru
- Stacja Hydrologiczno-Meteorologiczna
- ✈ Stacja Meteorologiczna z Lotniskową Stacją Meteorologiczną
- Stacja Meteorologiczna
- ▲ Wysokogórskie Obserwatorium Meteorologiczne
- ◆ Stacja Badań Niwalnych
- Automatyczna Stacja Synoptyczna
- ⊙ Stacja Badawcza Parowania
- Stacja Pomiarów Aerologicznych



## SPIS TREŚCI

1.	Ogólna ocena sytuacji hydrologiczno-meteorologicznej w kwietniu 2026 .....	4
2.	Warunki meteorologiczne .....	5
3.	Warunki hydrologiczne .....	22
4.	Odptyw rzeczny .....	28
5.	Jeziora.....	31

## TABELE

2.1.	Charakterystyki meteorologiczne w kwietniu 2026 .....	19
3.1.	Najwyższe dobowe sumy opadu w województwach (20 mm i wyższe) .....	22
3.2.	Najwyższe dobowe przyrosty stanu wody (40 cm i wyższe, o 6 UTC) .....	23
3.3.	Stacje hydrologiczne, na których stan wody w kwietniu 2026 był niższy od dotychczas obserwowanych wartości (do roku 2024).....	24
4.1.	Odptyw w kwietniu 2026 w stosunku do wartości charakterystycznych z wielolecia 1951-2020, w wybranych profilach wodowskazowych .....	29
5.1.	Morfometria i zlewnie jezior .....	31
5.2.	Stan i temperatura wody jezior w kwietniu 2026.....	32

## RYSUNKI

2.1.	Mapa synoptyczna (3 IV 2026, godz. 00 UTC).....	5
2.2.	Mapa synoptyczna (6 IV 2026, godz. 00 UTC).....	7
2.3.	Mapa synoptyczna (9 IV 2026, godz. 12 UTC).....	8
2.4.	Mapa synoptyczna (17 IV 2026, godz. 12 UTC).....	9
2.5.	Mapa synoptyczna (20 IV 2026, godz. 00 UTC).....	10
2.6.	Mapa synoptyczna (23 IV 2026, godz. 12 UTC).....	11
2.7.	Mapa synoptyczna (26 IV 2026, godz. 00 UTC).....	12
2.8.	Mapa synoptyczna (28 IV 2026, godz. 12 UTC).....	13
2.9.	Średnia miesięczna temperatura powietrza w kwietniu 2026 .....	17
2.10	Odchylenie średniej miesięcznej temperatury powietrza w kwietniu 2026, w stosunku do średniej 1991-2020 .....	17
2.11	Miesięczna suma opadu atmosferycznego w kwietniu 2026 .....	18
2.12.	Anomalia miesięcznej sumy opadu atmosferycznego w kwietniu 2026, jako procent normy wieloletniej 1991-2020 .....	18
2.13.	Średnie dobowe i ekstremalne temperatury powietrza oraz dobowe sumy opadu atmosferycznego w kwietniu 2026 .....	20
3.1.	Wysokość opadów średnich [mm] i przebieg stanu wody [cm] dla wybranych zlewni w Polsce w kwietniu 2026.....	25
3.2.	Hydrogramy stanu wody na Wiśle, Narwi i Bugu w kwietniu 2026.....	26
3.3.	Hydrogramy stanu wody na Odrze, Nysie Kłodzkiej i Warcie w kwietniu 2026 .....	27
4.1.	Krzywe sumowe odptywu Wisły w Tczewie i Odry w Gozdowicach .....	28
5.1	Lokalizacja jezior bazowych i bilansowych sieci limnologicznej .....	31

## 1. **Ogólna ocena sytuacji hydrologiczno-meteorologicznej w kwietniu 2026\***

Średnia obszarowa temperatura powietrza w Polsce w kwietniu 2026 roku wynosiła 7,6°C i była niższa od wieloletniej normy dla tego miesiąca (odchylenie od średniej z lat 1991-2020 wynosiło -1,1°C). Według kwantylowej klasyfikacji warunków termicznych miesiąc ten należy uznać za „chłodny” biorąc pod uwagę średnią dla Polski. Pod względem termicznym niemal na całym obszarze kraju kwiecień był poniżej normy wieloletniej, jedynie na północnym zachodzie był w normie. Najwyższe odchylenie zanotowano na stacji Kętrzyn, gdzie temperatura średnia miesięczna była o 1,7°C niższa od średniej wieloletniej. Natomiast najmniejsze odchylenie zanotowano w Świnoujściu, gdzie średnia temperatura powietrza była o 0,2°C niższa od średniej wieloletniej. Najwyższa średnia miesięczna temperatura zanotowana została w Gorzowie Wielkopolskim – wyniosła 9,2°C i była o 0,3°C niższa od średniej wieloletniej. Najchłodniej natomiast było w Łebie, gdzie średnia miesięczna temperatura powietrza wyniosła 5,7°C, co stanowiło wartość o 1,2°C niższą od normy dla tej stacji, a w górach na Kasprowym Wierchu (-3,3°C, -1,7°C od normy).

Opadowo kwiecień 2026 roku był zróżnicowany. Na ogół było skrajnie sucho (poniżej 50% średniej sumy wieloletniej), jedynie na Ziemi Łódzkiej i Kielecczyźnie było bardzo sucho (50-74% normy opadowej), a w Wielkopolsce było sucho (75-89% średniej wieloletniej) lub w normie (90-110% średniej wieloletniej). Na stacji w Opolu zanotowano najniższą miesięczną sumę opadów – 1,9 mm, co stanowiło 5,1% normy wieloletniej dla kwietnia. Najwyższa suma opadów została zanotowana w Gorzowie Wielkopolskim – 31,1 mm, co stanowiło 105,4% normy wieloletniej, większa suma opadów notowana była na Kasprowym Wierchu, 43,5 mm, co stanowiło 34,2% normy.

Na rzekach w kwietniu notowano głównie spadki i stabilizację, a tylko lokalnie wahania związane z pracą urządzeń hydrotechnicznych. Nie notowano przekroczeń stanu alarmowego. W kwietniu wartości stanu wody niższe lub równe najniższej dotychczas obserwowanej wartości, do roku 2024, odnotowano na 6 stacjach wodowskazowych, po 3 w Dorzeczu Wisły i Odry. Ostatniego dnia kwietnia (30 IV) stan wody na Wiśle znajdował się głównie w strefie wody niskiej, tylko w górnym biegu i w ujściowym odcinku lokalnie w strefie wody średniej. Na Narwi przeważała strefa wody niskiej, lokalnie notowano strefę wody niskiej. Na Bugu tego dnia stan wody układał się w strefie niskiej. Poziom wody na Odrze układał się głównie w strefie wody niskiej, tylko w górnym i ujściowym biegu miejscami w strefie wody średniej. Stan wody na Warcie układał się w strefie wody niskiej.

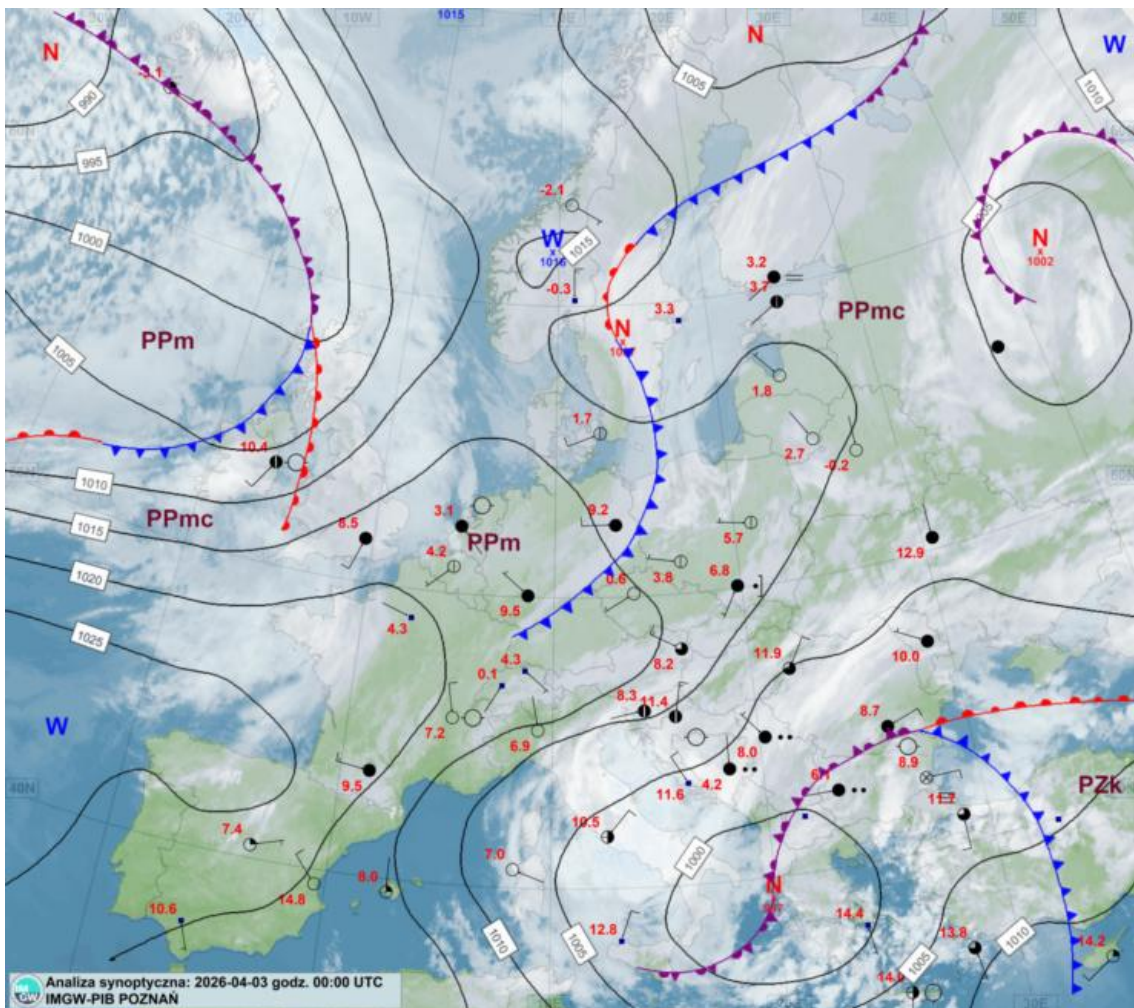
W kwietniu wartości odpływu w przekrojach rzek dorzecza Wisły i Odry były zróżnicowane, ale przeważnie znacznie niższe od normy.

W kwietniu 2026 średni poziom wody we wszystkich kontrolowanych jeziorach niemal nie zmienił się, zmiana ta wyniosła zaledwie -0,4 cm. Bieżący stan wody w poszczególnych zbiornikach był wyższy od stanu wieloletniego w ośmiu jeziorach, a pozostałych w czterech był on niższy; wartość średnia dla wszystkich zbiorników była niższa od wieloletniej o 3 cm. W kwietniu średnia temperatura wody wszystkich jezior wyniosła 7,9°C, a jej miesięczny wzrost wyniósł 3,5°C.

\* Podane wartości pochodzą ze stacji synoptycznych. Wszystkie odniesienia dotyczą normy wieloletniej z lat 1991-2020.

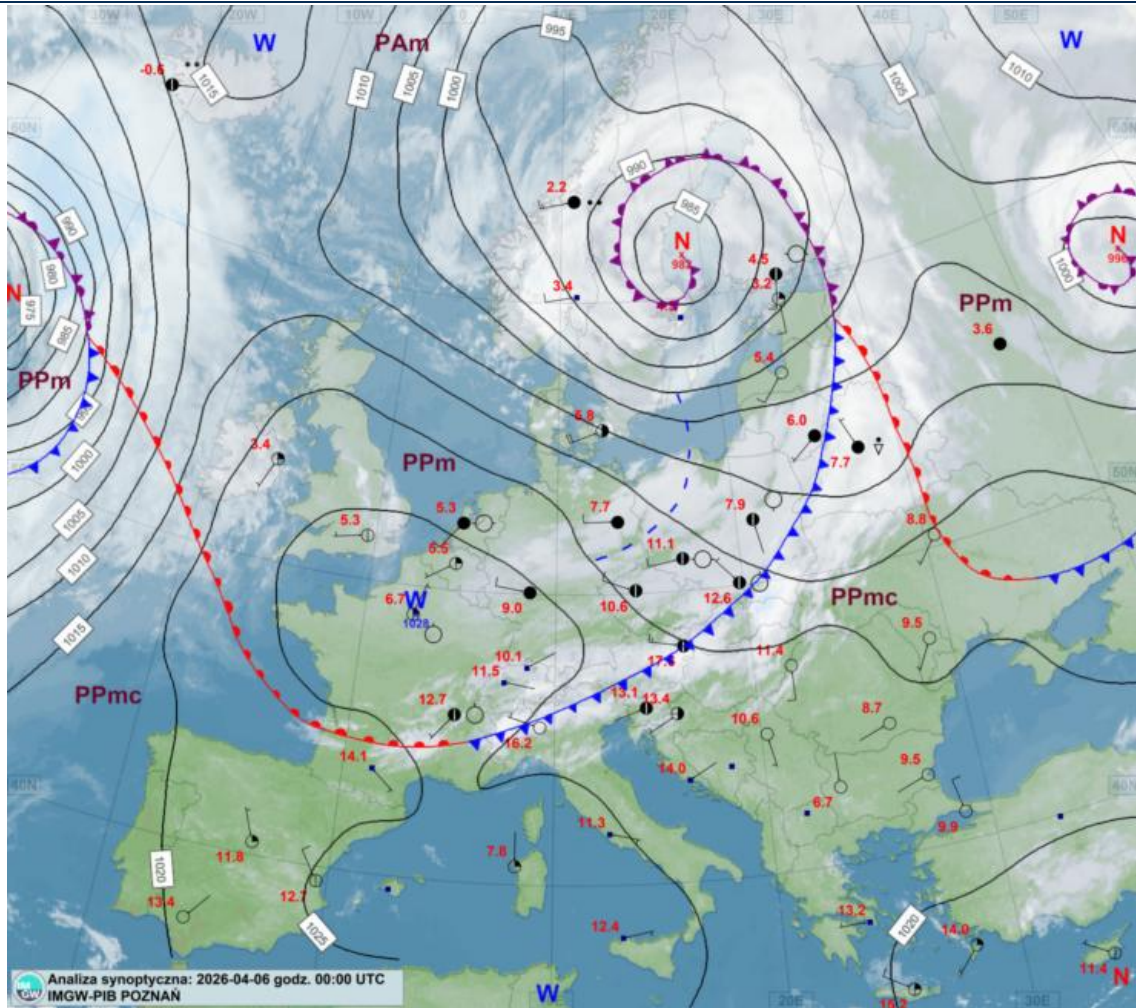
## 2. Warunki meteorologiczne

Od 1 do 3 IV Polska znajdowała się w zasięgu klina wyżu znad Atlantyku, tylko 3 IV z zachodu na wschód kraju przemieszczała się płytką zatoka z mało aktywnym frontem chłodnym. Napływało powietrze polarne morskie, nieco cieplejsze i bardziej wilgotne na południowym wschodzie. Zachmurzenie było duże, ale występowały także liczne rozpozodzenia, szczególnie w południowej połowie kraju. Pierwszego dnia kwietnia oraz w nocy 1/2 IV w południowej połowie kraju przemieszczała się strefa opadów deszczu, natomiast na Podhalu i w Tatrach wystąpiły intensywne opady śniegu. Na Kasprowym Wierchu zanotowano dobowy przyrost pokrywy śnieżnej o 28 cm, a w Zakopanem o 10 cm. Po opadach tworzyły się liczne mgły, które lokalnie były gęste i długo utrzymujące się. Drugiego i trzeciego kwietnia słabe opady deszczu obserwowano w Karpatach, na północy i północnym wschodzie kraju. Nocami w wielu miejscach w północno-zachodniej połowie kraju temperatura minimalna powietrza spadała poniżej 0°C. Najbardziej temperatura spadła w Łęborku, gdzie w nocy 1/2 IV temperatura minimalna wyniosła -5,1°C. Wiatr był na ogół słaby i umiarkowany, okresami porywisty, z kierunków zachodnich. Najsilniejsze porywy wiatru odnotowywano 3 IV na Śnieżce – 24 m/s.



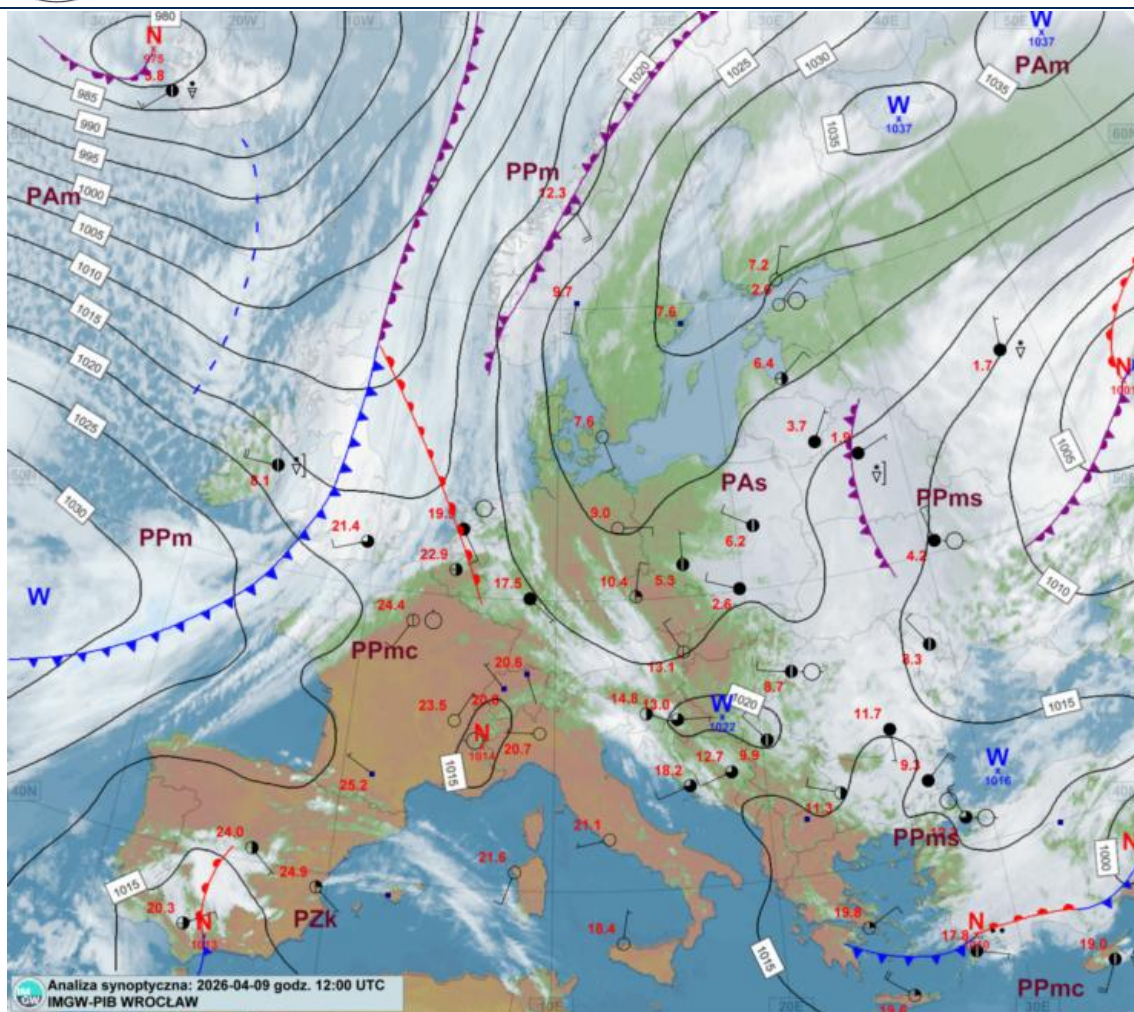
Rys. 2.1. Mapa synoptyczna (3 IV 2026, godz. 00 UTC)

W dniach od 4 do 6 IV nad Polską przemieszczały się dwa układy frontów związane z niżami znad Skandynawii, rozdzielone klinami wysokiego ciśnienia. Napływało powietrze polarne morskie, okresami bardzo ciepłe. Zachmurzenie było na ogół małe i umiarkowane, okresami wzrastało do dużego w strefach frontów. Na pierwszym układzie frontów notowano słabe przelotne opady deszczu, a w nocy 4/5 IV lokalnie na południu tworzyły się gęste mgły. Drugi układ frontów był bardziej aktywny. W wycinku ciepłym napłynęła bardzo ciepła masa powietrza z południowego zachodu, co spowodowało, że na znacznym obszarze kraju 5 IV był najcieplejszym dniem w miesiącu. Temperatura maksymalna przekraczała miejscami 20°C, a najcieplej było w Legnicy: 22,6°C. Jednocześnie w godzinach popołudniowych i następnie w nocy z północnego zachodu na południowy wschód przemieszczał się aktywny front chłodny z przelotnymi opadami deszczu, burzami z krupą lodową lub małym gradem oraz z silnymi porywami wiatru. Notowane sumy opadów zwykle wynosiły 2-4 mm, ale na wielu stacjach były to najwyższe dobowe sumy opadów w miesiącu, szczególnie na północy i w centrum kraju (m. in. 4,8 mm w Terespolu, 4,3 mm w Warszawie). Najwięcej deszczu spadło wówczas w Siedlcach – 5,6 mm. 6 IV było już wyraźnie chłodniej, a wtórny front chłodny przyniósł kolejne przelotne opady deszczu, wysoko w Karpatach śniegu, a na południowym wschodzie występowały jeszcze burze. Wiatr w tych dniach był umiarkowany i okresami dość silny, na północy kraju okresami silny, a 6 IV na wybrzeżu także bardzo silny, z kierunków zachodnich. W całym kraju wiatr był porywisty, a najsilniejsze porywy wiatru zanotowano 6 IV: 37 m/s na Śnieżce, 29 m/s w Zamościu, 26 m/s w Łebie, 24 m/s w Lęborku, 23 m/s w Helu, 22 m/s w Gdańsku, Ustce i Siedlcach, a 21 m/s we Włodawie i Mikołajkach.



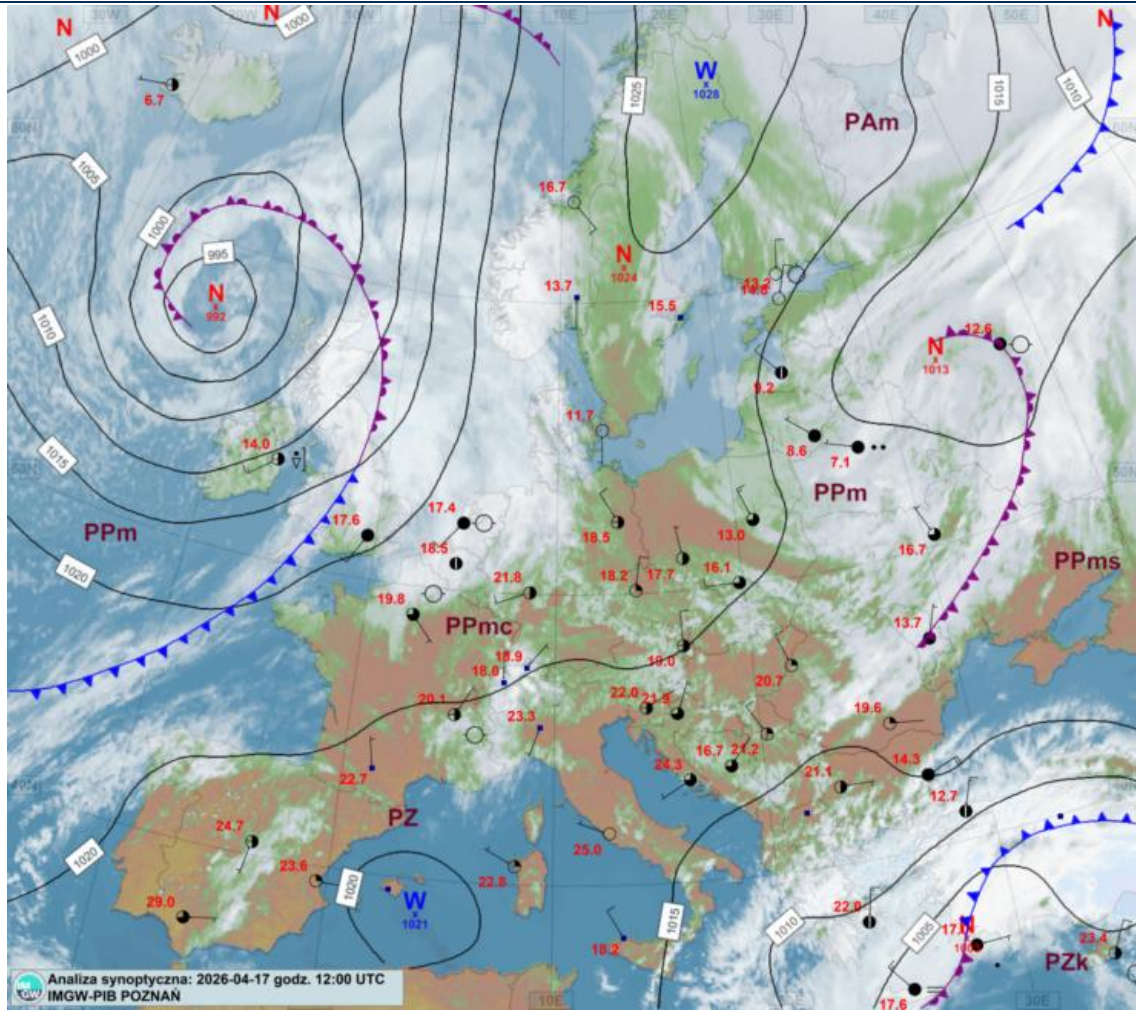
Rys. 2.2. Mapa synoptyczna (6 IV 2026, godz. 00 UTC)

W kolejnych dniach od 7 do 12 IV pogodę w Polsce kształtował wyż znad północnej Skandynawii i północno-zachodniej Rosji, generując napływ powietrza arktycznego. W dniach 7-9 IV na wschodzie kraju oddziaływał jeszcze niż znad Rosji i Ukrainy, za sprawą którego dominowało tam zachmurzenie duże z przelotnymi opadami deszczu, deszczu ze śniegiem, śniegu i krupy. W zachodniej połowie kraju dominowały roz pogodzenia. 8 i 9 IV na wielu stacjach we wschodniej i południowej części kraju wystąpiła najniższa temperatura maksymalna w miesiącu, nawet w zakresie 4-7°C. W kolejnych dniach zachmurzenie było duże z roz pogodzeniami. 10 i 11 IV słabe opady deszczu występowały na wschodzie kraju, a 12 IV na zachodzie, w tym śniegu w Sudetach. W tym okresie w zachodniej, południowej i centralnej Polsce występowała najniższa temperatura minimalna w kwietniu. W nocy 9/10 IV najchłodniej było w Jeleniej Górze (-7,5°C), a w górach na Kasprowym Wierchu (-12,7°C). Wiatr był słaby i umiarkowany, jedynie początkowo jeszcze dość silny i porywisty, głównie z kierunków północnych. Najsilniejsze zanotowane porywy wiatru wystąpiły 7 IV: 29 m/s – Śnieżka i 21 m/s – Warszawa.



Rys. 2.3. Mapa synoptyczna (9 IV 2026, godz. 12 UTC)

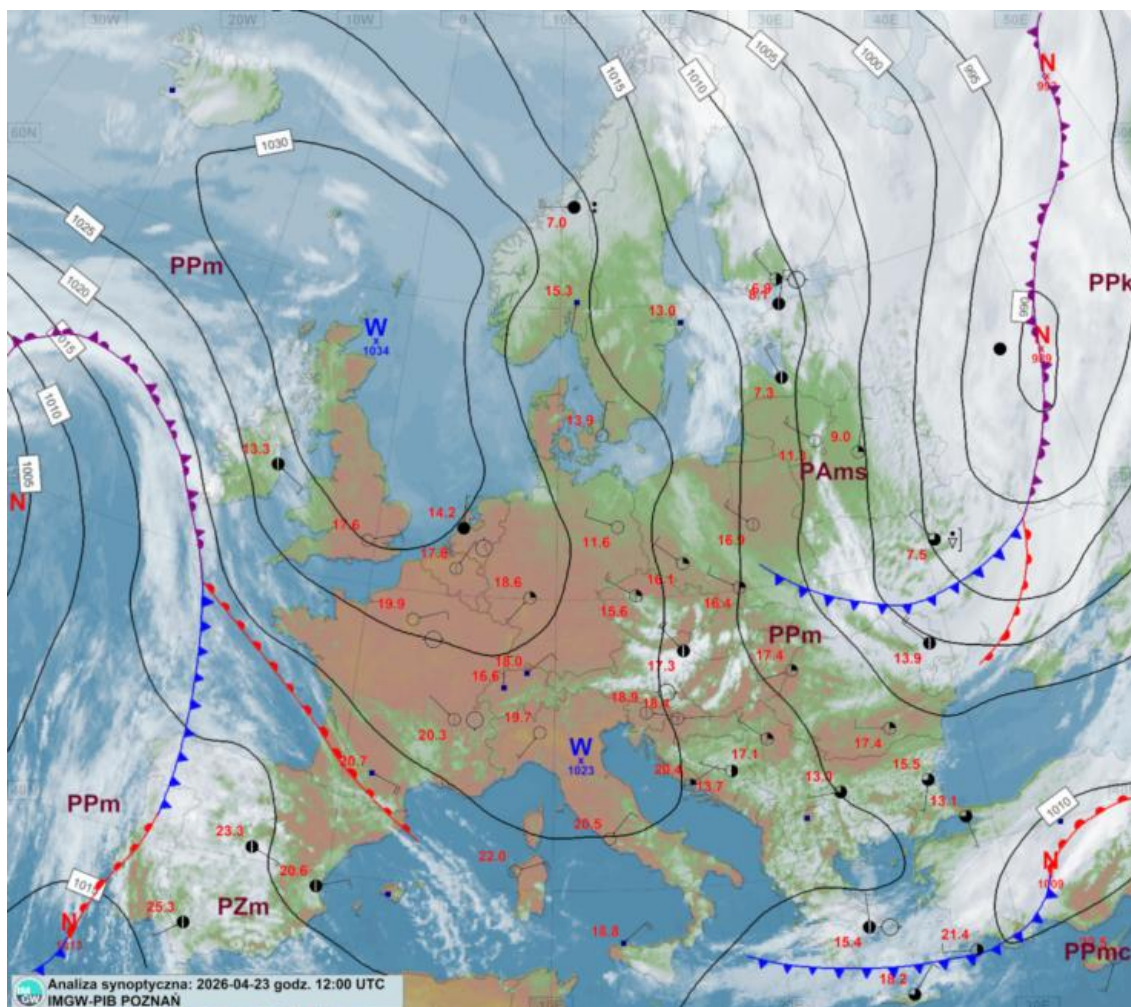
W dniach od 13 do 14 IV na wschodzie zaznaczał się jeszcze klin wyżu z rejonu Morza Białego i napływało suche oraz chłodne powietrze z północnego wschodu. Z kolei na zachodzie obecna była zatoka niżu z ośrodkiem w rejonie Sardynii z układem frontów (w wycinku ciepłym napływało ciepłe powietrze polarne). Zachmurzenie było duże i całkowite, na wschodzie okresami z większymi przejaśnieniami. Opady deszczu okresami występowały na zachodzie i południowym zachodzie, a 14 i 15 IV wraz z okludującym się frontem przesunęły się do centrum i na wschód. W roz pogodzeniach na północnym zachodzie i północy temperatura w nocy spadła poniżej 0°C. Od 16 do 18 IV Polska była w obszarze podwyższonego ciśnienia. Zachmurzenie było małe i umiarkowane, miejscami wzrastające do dużego i lokalnie występowały słabe opady deszczu, a 17 IV na południu Opolszczyzny, Górnego Śląska oraz w Tatrach zaobserwowano nieliczne burze. W północnej połowie kraju miejscami w nocy temperatura powietrza ponownie spadała poniżej 0°C, z kolei 18 IV na zachodzie kraju temperatura w ciągu dnia wzrosła do ponad 20°C. Wiatr był słaby, okresami umiarkowany i porywisty, północno-zachodni i północny, okresami zmienny. Najsilniejsze porywy wiatru zanotowano na Śnieżce 13 IV – 27 m/s.



Rys. 2.4. Mapa synoptyczna (17 IV 2026, godz. 12 UTC)

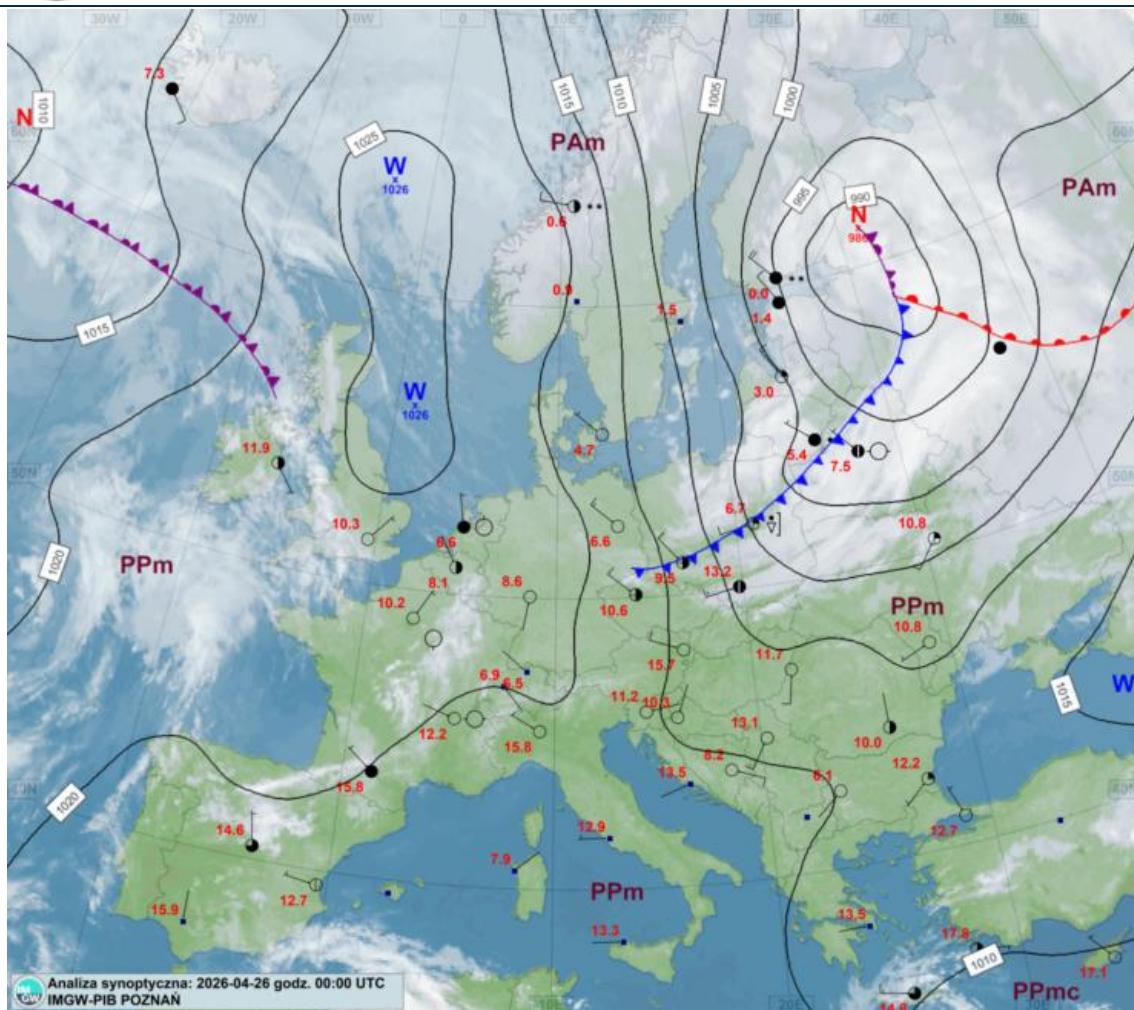
W dniach 19-20 IV Polska znajdowała się w pod wpływem niżu, którego ośrodek znajdował się nad zachodnimi Niemcami i przemieszczał się przez Sudety w kierunku Bieszczad i dalej nad Rumunię. Pofalowany front okluzji rozciągał się od Ziemi Lubuskiej po Podkarpacie, a następnie był spychany na południe przez rozległy wyż znad Islandii. Kraj znajdował się w powietrzu polarnym morskim, ale 20 IV za frontem z północnego wschodu zaczęło napływać powietrze polarne kontynentalne. Był to najbardziej opadowy epizod w całym miesiącu i na wielu stacjach zachodniej i południowej Polski zanotowano najwyższe dobowe sumy opadów kwietnia 2026 r. Na północy było pogodnie, ale w południowej, zachodniej i centralnej części kraju zachmurzenie było duże i całkowite z opadami deszczu, wysoko w górach śniegu. Opady okresami były o natężeniu umiarkowanym, a w Sudetach wystąpiły burze. W pasie od Ziemi Lubuskiej i Pomorza Zachodniego, przez Wielkopolskę, Dolny Śląsk, Ziemię Łódzką i Świętokrzyską, po Małopolskę i Podkarpacie, dobowe sumy opadów wynosiły od 15 mm do około 30 mm. 19 IV najwyższe sumy opadów zanotowano na stacji Skwierzyna (woj. lubuskie) – 38 mm, Gorzyń (woj. wielkopolskie) – 36 mm i Chojna (woj. zachodniopomorskie) – 28 mm, z kolei 20 IV na stacji Przedbórz (woj. łódzkie) – 24 mm, a na Kasprowym Wierchu spadło 8 cm śniegu. Temperatura powietrza istotnie zmieniała się z dnia na dzień szczególnie w południowej połowie kraju, gdzie 19 IV temperatura maksymalna była w zakresie od 17°C do 20°C, a 20 IV od 7°C do 11°C. W nocy 19/20 IV temperatura minimalna na Suwalszczyźnie





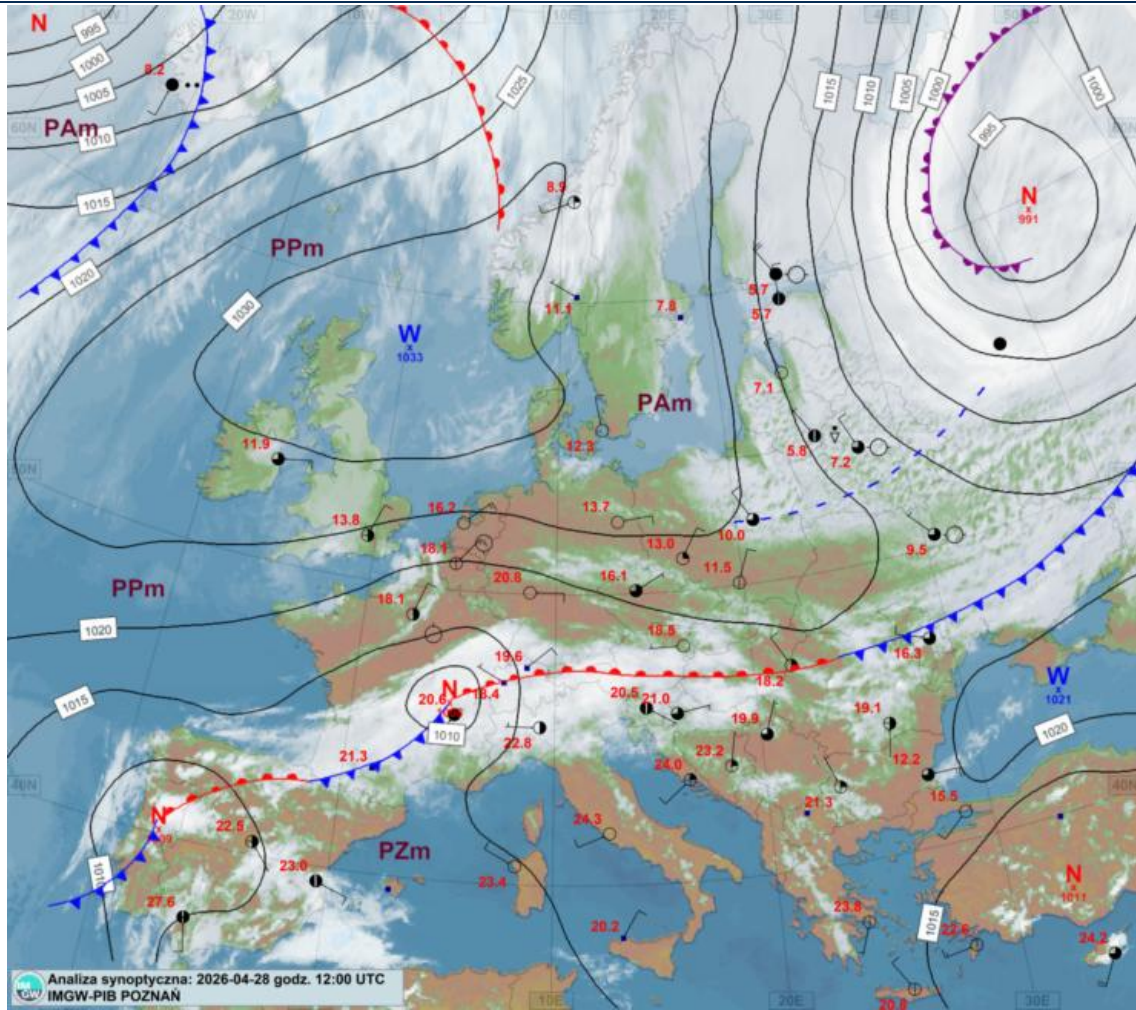
Rys. 2.6. Mapa synoptyczna (23 IV 2026, godz. 12 UTC)

W dniu 25 IV Polska znalazła się pod wpływem zatoki niżu z nad Finlandii, z aktywnym frontem chłodnym, który z północy przemieścił się 26 IV na południowy wschód kraju. Ciepłe powietrze polarne morskie zostało dość gwałtownie wyparte przez masę powietrza arktycznego. Za frontem od zachodu rozbudowywał się klin wyżu z nad Morza Północnego. Z frontem związane były opady przelotnego deszczu, miejscami burze. Za frontem na północnym wschodzie oraz w centrum wystąpiły przelotne opady deszczu, deszczu ze śniegiem, śniegu oraz krupy śnieżnej. Na Mazowszu, Warmii i Podlasiu wystąpiły lokalne burze. Na stacjach północnej Polski, m.in. w Elblągu, Resku, Suwałkach czy Świnoujściu, opady 25 IV skutkowały najwyższymi sumami w miesiącu (zwykle 2-5 mm). Przy przechodzeniu frontu wiatr wzrastał do dość silnego i silnego, z dużymi porywami wiatru, przejściowo skręcając z kierunków zachodnich na kierunki północne. Najsilniejsze zanotowane porywy wiatru 25 IV to: 45 m/s – Śnieżka, 24 m/s – Kołobrzeg-Dźwirzyno, 23 m/s – Kasprowy Wierch, 22 m/s – Łeba, 21 m/s – Elbląg, a 26 IV to: 37 m/s – Śnieżka, 24 m/s – Włodawa i Olsztyn, 23 m/s – Zamość, 22 m/s – Mikołajki i Kasprowy Wierch, 21 m/s – Kraków i Lublin.



Rys. 2.7. Mapa synoptyczna (26 IV 2026, godz. 00 UTC)

W dniach 27 - 30 IV Polska się w zasięgu układu wyżowego znad Morza Północnego, którego jedno z centrów okresami przemieszczało się nad Niemcy i Polskę, ale na wschodzie oddziaływał skraj niżu znad zachodniej Rosji. Na zachodzie kraju napływała ciepła masa powietrza polarnego, z kolei na wschodzie powietrze pochodzenia arktycznego. Przejawiało się to między innymi w rozkładzie temperatury maksymalnej w ciągu dnia: na zachodzie była zwykle w zakresie od 13°C do 18°C, a na wschodzie od 7°C do 12°C. Analogicznie układała się także temperatura minimalna w nocy, co przekładało się na występowanie przymrozków, głównie we wschodniej i centralnej części kraju. Najchłodniejsza noc wystąpiła z 29 na 30 IV, kiedy temperatura spadła poniżej 0°C niemal w całym kraju i na wielu stacjach północno-wschodniej, centralnej oraz południowej Polski była to najzimniejsza noc w miesiącu. W tych dniach zachmurzenie było małe i umiarkowane, miejscami, szczególnie na wschodzie, wzrastające do dużego. We wschodniej połowie kraju okresami występowały słabe, przelotne opady deszczu, deszczu ze śniegiem, a lokalnie także śniegu. Wiatr był słaby i umiarkowany, w ciągu dnia we wschodniej połowie kraju porywisty, przeważnie z kierunków północnych.



Rys. 2.8. Mapa synoptyczna (28 IV 2026, godz. 12 UTC)

## Legenda do map synoptycznych:

### Zjawiska meteorologiczne

	mgła, mgła marznąca		deszcz ciągły
	marznący deszcz, mżawka		mżawka
	grad		śnieg
	burza, błyskawica		opady przelotne deszczu lub śniegu
	zawieje lub zamieć		satelitarny obraz stref zachmurzenia

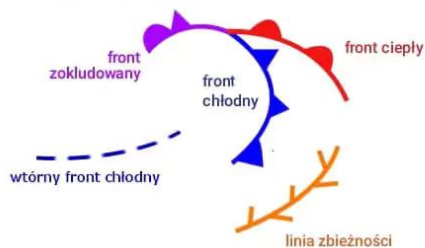
### Zachmurzenie i prędkość wiatru

	niebo bezchmurne		cisza
	stopień zachmurzenia		wiatr zmienny
			1 m/s
			2,5 m/s
			5 m/s
			7,5 m/s
			10 m/s
			...
	zachmurzenie całkowite		22,5 m/s
	niebo niewidoczne		25 m/s
	stacja automatyczna		27 m/s

prędkość wiatru / kierunek wiatru / wielkość zachmurzenia

### Masy powietrza

PP	powietrze polarne
PA	powietrze arktyczne
PZ	powietrze zwrotnikowe
M	- morskie
K	- kontynentalne
C	- ciepłe
S	- stare



### Układy ciśnienia

<b>W</b>	Wyż		izobara co 5 hPa
<b>N</b>	Niż		

### Podsumowanie\*

Średnia obszarowa temperatura powietrza w Polsce w kwietniu 2026 roku wynosiła 7,6°C i była niższa od wieloletniej normy dla tego miesiąca (odchylenie od średniej z lat 1991-2020 wynosiło -1,1°C). Według kwantylowej klasyfikacji warunków termicznych miesiąc ten należy uznać za „chłodny” biorąc pod uwagę średnią dla Polski. Pod względem termicznym niemal na całym obszarze kraju kwiecień był poniżej normy wieloletniej, jedynie na północnym zachodzie był w normie. Najwyższe odchylenie zanotowano na stacji Kętrzyn, gdzie temperatura średnia miesięczna była o 1,7°C niższa od średniej wieloletniej. Natomiast najmniejsze odchylenie zanotowano w Świnoujściu, gdzie średnia temperatura powietrza była o 0,2°C niższa od średniej wieloletniej.

Najwyższa średnia miesięczna temperatura zanotowana została w Gorzowie Wielkopolskim – wyniosła 9,2°C i była o 0,3°C niższa od średniej wieloletniej. Najchłodniej natomiast było w Łebie, gdzie średnia miesięczna temperatura powietrza wyniosła 5,7°C, co stanowiło wartość o 1,2°C niższą od normy dla tej stacji, a w górach na Kasprowym Wierchu (-3,3°C, -1,7°C od normy).

Najwyższą temperaturę maksymalną zarejestrowano w Legnicy 5 IV i wyniosła ona 22,6°C. Najniższą temperaturę minimalną powietrza, -7,5°C, zanotowano 10 IV w Jeleniej Górze. Tego samego dnia zanotowano także najniższą temperaturę w górach – na Kasprowym Wierchu było -12,7°C.

Średnia temperatura powietrza w Warszawie w kwietniu wyniosła 8,6°C i była o 0,6°C niższa od średniej wieloletniej. Najwyższą maksymalną temperaturę powietrza zanotowano 5 IV i wyniosła ona 20,9°C, natomiast najniższą temperaturę minimalną 10 IV, kiedy to temperatura powietrza spadła do -2,5°C. W latach 1951-2026 maksymalną temperaturę dla kwietnia w Warszawie: 30,4°C zanotowano 29 IV 2012, a minimalną: -6,9°C, w dniu 2 IV 1952.

Opadowo kwiecień 2026 roku był zróżnicowany. Na ogół było skrajnie sucho (poniżej 50% średniej sumy wieloletniej), jedynie na Ziemi Łódzkiej i Kielecczyźnie było bardzo sucho (50-74% normy opadowej), a w Wielkopolsce było sucho (75-89% średniej wieloletniej) lub w normie (90-110% średniej wieloletniej).

Na stacji w Opolu zanotowano najniższą miesięczną sumę opadów – 1,9 mm, co stanowiło 5,1% normy wieloletniej dla kwietnia. Najwyższa suma opadów została zanotowana w Gorzowie Wielkopolskim – 31,1 mm, co stanowiło 105,4% normy wieloletniej, większa suma opadów notowana była na Kasprowym Wierchu, 43,5 mm, co stanowiło 34,2% normy.

Miesięczna suma opadów w kwietniu 2026 r. dla Warszawy wyniosła 7,3 mm, co stanowiło 20,8 % normy. Najwyższy dobowy opad wystąpił 5 IV i wyniósł 4,3 mm. Rekordowy dobowy opad z okresu 1951-2026 wystąpił 7 IV 2004 i wyniósł 27,2 mm.

\* Podane wartości pochodzą ze stacji synoptycznych. Wszystkie odniesienia dotyczą normy wieloletniej z lat 1991-2020.

### **Wartości ekstremalne dla kwietnia w wieloleciu 1951-2026:**

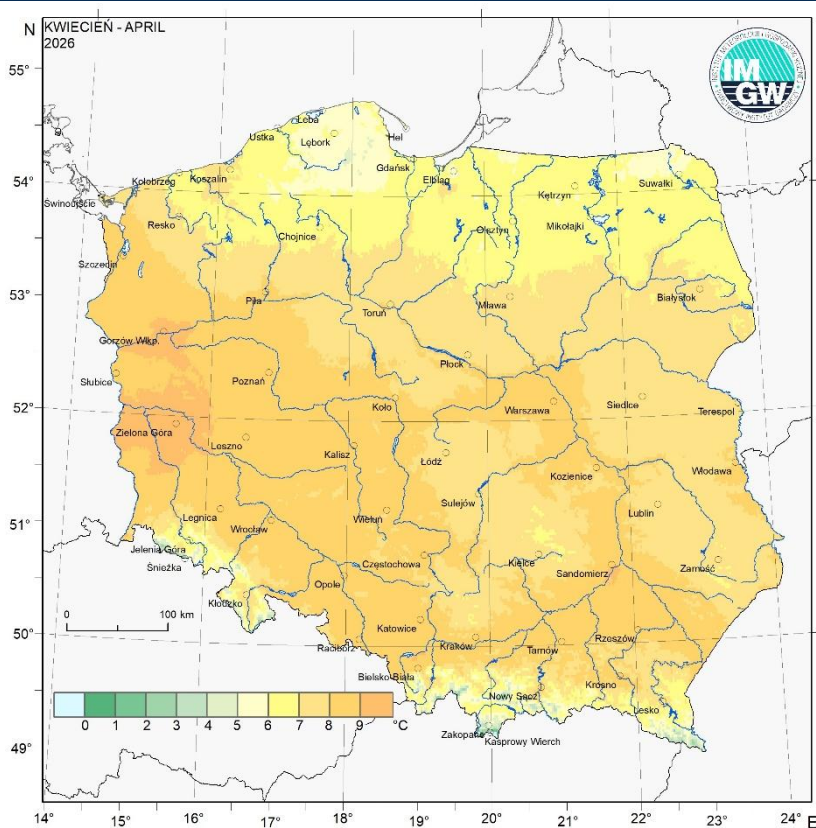
Najniższa temperatura	-14,5°C	w Jeleniej Górze	1 IV 1977,
	-18,1°C	na Kasprowym Wierchu	7 IV 2003,
Najwyższa temperatura	31,6°C	w Słubicach	28 IV 2012,
Najwyższa suma opadów	81,6 mm	w Katowicach	22 IV 1972.

### **Wartości ekstremalne dla kwietnia w dziesięcioleciu 2017-2026:**

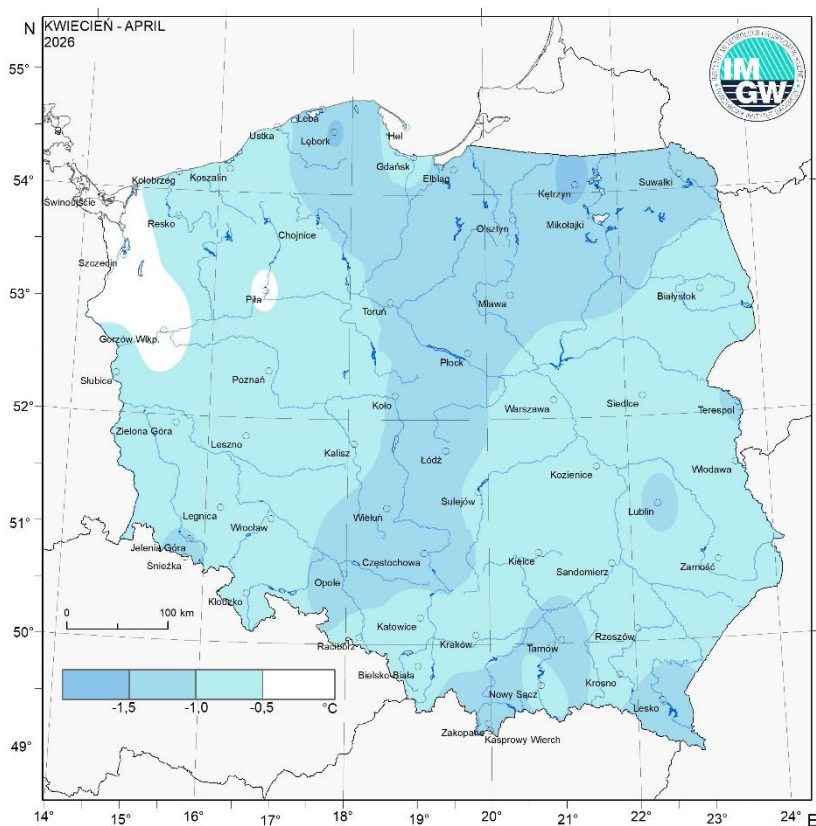
Najniższa temperatura	-10,2°C	w Kłodzku	1 IV 2020,
-----------------------	---------	-----------	------------



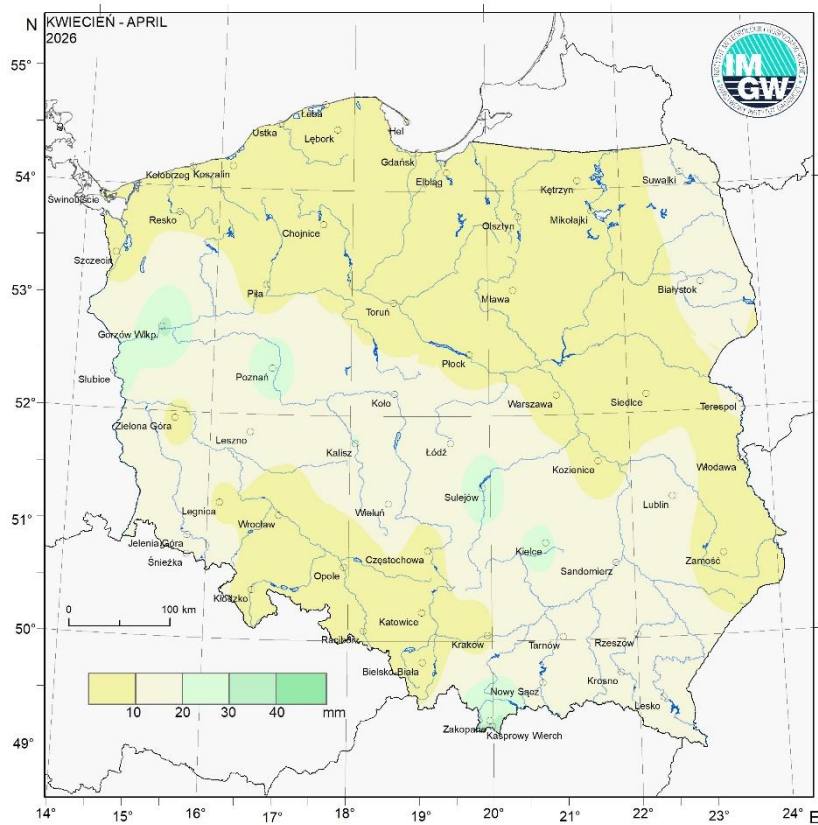
Najwyższa temperatura	-16,6°C	na Kasprowym Wierchu	4 IV 2022,
	29,6°C	w Tarnowie	26 IV 2019,
Najwyższa suma opadów	29,6°C	w Łebie	17 IV 2025,
	40,0 mm	w Bielsku Białej	28 IV 2019,
	62,0 mm	na Hali Gąsienicowej	30 IV 2019.



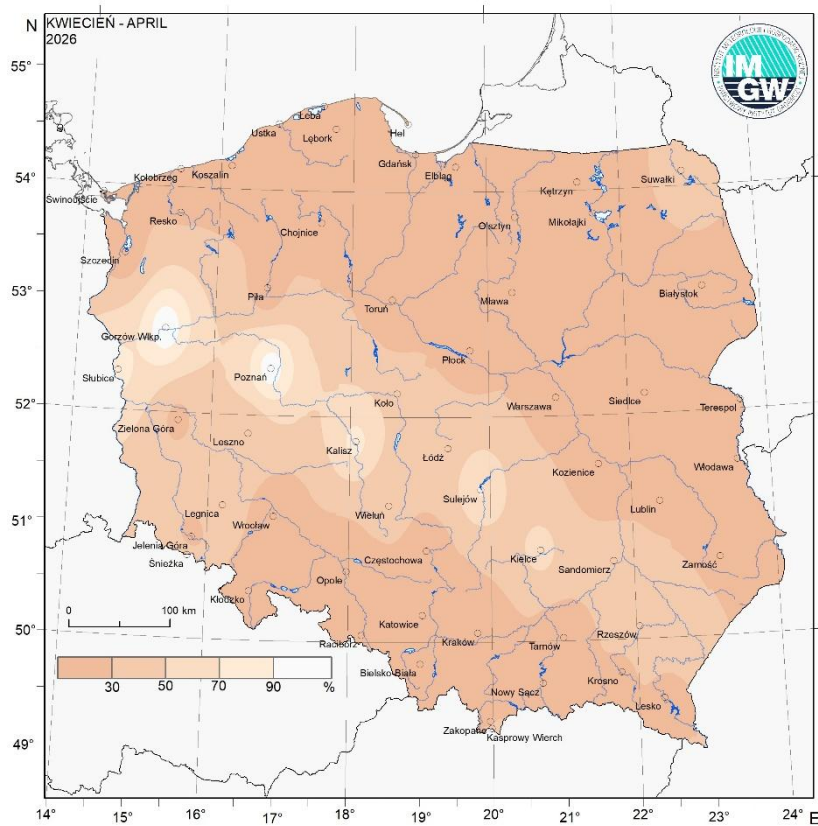
Rys. 2.9. Średnia miesięczna temperatura powietrza w kwietniu 2026



Rys. 2.10. Odchylenie średniej miesięcznej temperatury powietrza w kwietniu 2026, w stosunku do średniej wieloletniej 1991-2020



Rys. 2.11. Miesięczna suma opadu atmosferycznego w kwietniu 2026



Rys. 2.12. Anomalia miesięcznej sumy opadu atmosferycznego w kwietniu 2026, jako procent normy wieloletniej 1991-2020

Tab. 2.1. Charakterystyki meteorologiczne w kwietniu 2026

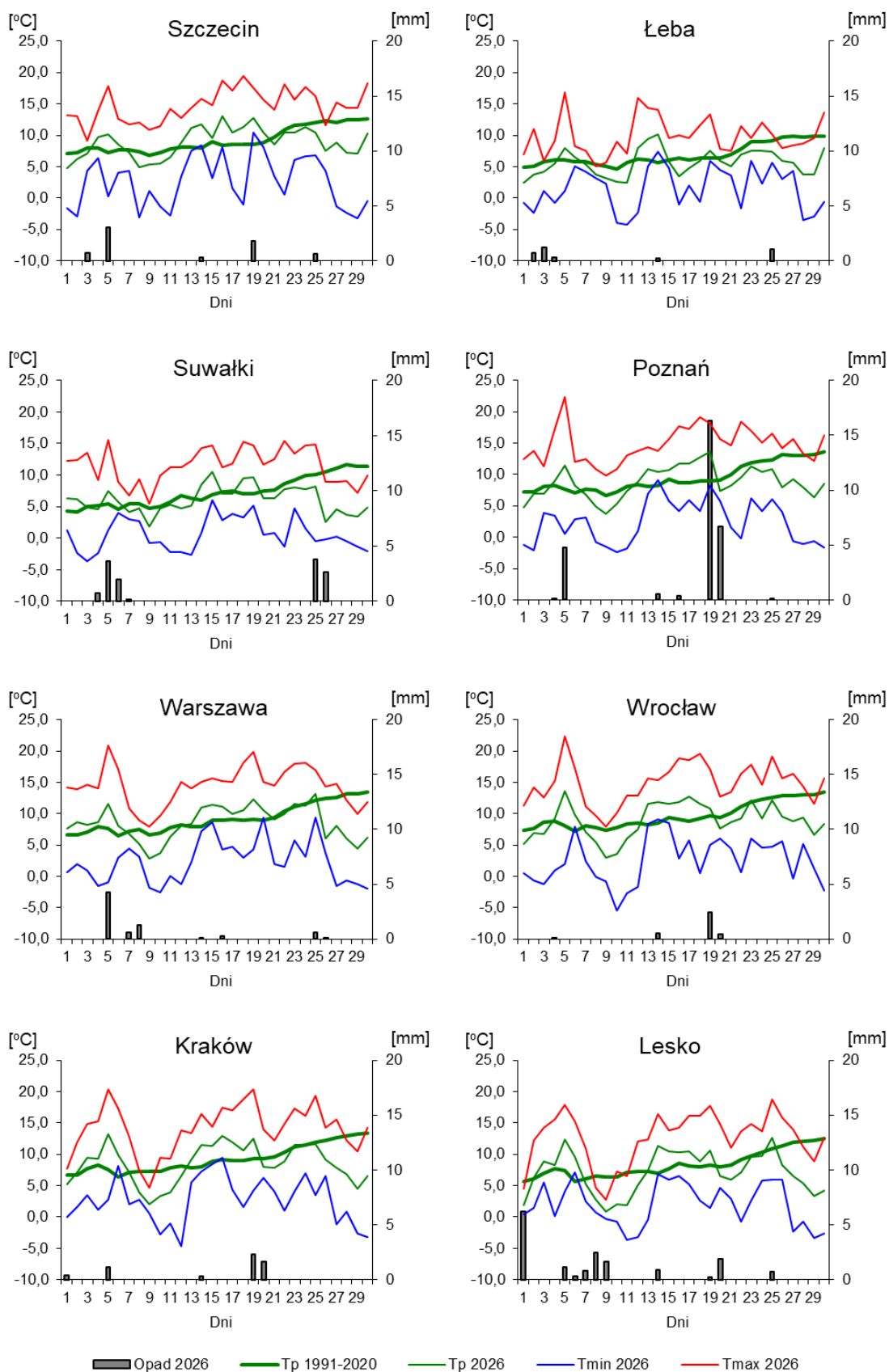
Lp.	Stacja	Temperatura powietrza						Temperatura gruntu na głęb. 5 cm		Opady atmosferyczne			Wilgotność względna		Usłonecznienie
		$T$ średnia [°C]	Odchylenie $T_{\text{śr.}}$ od normy* [°C]	$T_{\text{max}}$ [°C]	$T_{\text{min}}$ [°C]	$T_{\text{min}}$ przy gruncie [°C]	Liczba dni z $T_{\text{min}}$ przy gruncie <0°C	$T$ średnia [°C]	$T_{\text{min}}$ [°C]	Suma [mm]	% normy*	Liczba dni z opadem	Średnia [%]	Minimalna [%]	Suma [godz.]
1	Białystok	7,2	-0,7	17,0	-2,7	-5,7	16	.	.	10,9	29	10	59	24	204,5
2	Chojnice	6,9	-1,0	18,5	-3,8	-5,8	16	8,3	2,5	6,5	22	5	59	18	249,0
3	Jelenia Góra	6,9	-1,0	22,1	-7,5	-10,7	20	8,8	2,5	10,7	26	8	64	22	233,5
4	Katowice	8,5	-0,8	19,9	-5,8	-7,7	14	9,9	2,0	4,8	11	4	57	19	206,1
5	Kielce	7,5	-0,9	19,5	-5,5	-7,0	15	9,2	1,3	22,6	57	7	62	16	196,5
6	Koszalin	7,0	-1,0	17,0	-1,8	-6,5	16	.	.	4,7	14	3	66	29	264,6
7	Kraków	8,5	-0,8	20,4	-4,7	-5,8	12	9,0	3,0	5,7	12	5	61	20	193,2
8	Lublin	7,5	-1,1	18,1	-4,0	-7,8	15	9,1	3,1	12,3	29	11	59	18	210,6
9	Łódź	7,7	-1,3	20,7	-5,7	-9,0	19	10,0	1,5	16,6	47	7	61	22	219,0
10	Mława	7,3	-1,1	19,7	-3,9	-6,7	19	10,2	2,3	6,9	21	4	57	21	249,8
11	Olsztyn	6,4	-1,5	18,7	-4,2	-8,4	19	10,4	1,0	7,6	20	8	62	18	216,1
12	Opole	8,3	-1,3	21,4	-5,3	-7,5	15	10,8	2,1	1,9	5	4	60	19	226,3
13	Poznań	8,8	-0,7	22,3	-2,4	-8,3	18	9,9	3,0	28,9	101	7	57	19	246,1
14	Rzeszów	8,5	-0,6	20,5	-3,2	-5,8	10	10,0	2,4	19,6	43	8	60	18	189,6
15	Suwałki	6,1	-1,2	15,6	-3,6	-5,6	19	8,2	1,8	12,9	37	6	63	22	199,7
16	Szczecin	8,9	-0,3	19,5	-3,2	-5,7	15	11,4	-0,2	6,4	21	5	59	20	253,5
17	Terespol	7,8	-1,1	18,4	-2,9	-6,8	12	9,3	3,2	10,7	30	6	58	22	214,7
18	Toruń	7,8	-1,0	21,7	-4,3	-9,4	19	9,7	1,8	5,1	17	3	59	16	236,4
19	Warszawa	8,6	-0,6	20,9	-2,5	-6,7	14	9,7	-2,1	7,3	21	7	53	19	263,1
20	Wrocław	8,9	-0,8	22,4	-5,4	-7,4	14	9,3	2,5	3,4	11	4	57	17	242,9
21	Zakopane	5,0	-1,0	16,9	-7,2	-8,0	16	6,6	-1,7	21,9	27	8	64	26	180,9
22	Zielona Góra	9,0	-0,6	21,5	-1,9	-2,4	6	10,9	3,2	7,8	25	7	53	20	242,4

Oznaczenia:

kreska (-) - zjawisko nie wystąpiło;

kropka (.) - brak danych;

\* wartości odniesiono do średnich z okresu 1991-2020



Rys. 2.13. Średnie dobowe i ekstremalne temperatury powietrza oraz dobowe sumy opadu atmosferycznego w kwietniu 2026

## **Informacja o liczbie zarejestrowanych wyładowań atmosferycznych na obszarze Polski przez system wykrywania wyładowań PERUN**

W kwietniu 2026 system wykrywania i lokalizacji wyładowań atmosferycznych PERUN zarejestrował na obszarze Polski 20529 wyładowań, w tym:

- 19343 wyładowań chmurowych,
- 67 wyładowania doziemne dodatnie,
- 1119 wyładowanie doziemne ujemne.

### 3. Warunki hydrologiczne

Ostatniego dnia marca (31 III) stan wody na Wiśle znajdował się w strefie wody średniej, tylko w środkowym biegu w strefie wody niskiej. Na Narwi przeważała strefa wody średniej, lokalnie notowano strefę wody niskiej. Na Bugu tego dnia stan wody układał się na pograniczu wody średniej i niskiej. Poziom wody na Odrze układał się głównie w strefie wody średniej, tylko w środkowym biegu w strefie wody niskiej. Stan wody na Warcie układał się przeważnie w strefie wody niskiej, w górnym i ujściowym odcinku natomiast w strefie wody średniej.

Opadowo kwiecień 2026 roku był zróżnicowany. Na ogół było skrajnie sucho (poniżej 50% średniej sumy wieloletniej), na Ziemi Łódzkiej i Kielecczyźnie było bardzo sucho (50-74% normy opadowej), a w Wielkopolsce było przeważnie sucho (75-89% średniej wieloletniej) lub w normie (90-110% średniej wieloletniej) (rys. 2.10 i 2.11). Opady były sumarycznie niewysokie, a wyższe opady notowano miejscami na przełomie drugiej i trzeciej dekady miesiąca. Pokrywa śnieżna utrzymywała się miejscami tylko w wyższych partiach gór.

W tab. 2.1 przedstawiono charakterystyki meteorologiczne (m.in. opadowe) dla wybranych 22 miast położonych w różnych rejonach Polski. Liczba dni z opadem w miesiącu wynosiła najczęściej kilka dni w przeważającej części kraju; najwięcej, 11 dni z opadem zanotowano w Lublinie. W miesiącu tym pokrywa śnieżna była notowana przez 6 dni w Zakopanem, a w górach: na Śnieżce przez 25 dni, a na Hali Gąsienicowej i Kasprowym Wierchu przez cały miesiąc.

W tabeli 3.1 umieszczono najwyższe w województwach dobowe sumy opadu (20 mm i wyższe), jakie wystąpiły w poszczególnych dniach kwietnia.

Tab. 3.1. Najwyższe dobowe sumy opadu w województwach (20 mm i wyższe)

Data	Opad maks. [mm]	Lokalizacja	Województwo i % stacji z opadem powyżej 20 mm	Zlewnia
1 IV	24	Kasprowy Wierch	małopolskie, 1%	Biały Dunajec
19 IV	38	Skwierzyna	lubuskie, 20%	Obra
	36	Gorzyń	wielkopolskie, 6%	Dormowska Struga
	28	Chojna	zachodniopomorskie, 5%	Rurzyca
20 IV	24	Przedbórz	łódzkie, 5%	Pilica

Na podstawie danych z tab. 3.1 można stwierdzić, że w kwietniu opady przekraczające 20 mm na dobę (uznawane za potencjalnie niebezpieczne) wystąpiły tylko w ciągu kilku dni. Najwyższa dobową sumą opadów została zarejestrowana w dniu 19 IV na stacji meteorologicznej Skwierzyna, spadło tam 38 mm.

Na rzekach w kwietniu notowano głównie spadki i stabilizację, a tylko lokalnie wahania związane z pracą urządzeń hydrotechnicznych.

Zestawienie najwyższych dobowych przyrostów stanu wody (40 cm i wyższe, o 6 UTC) zamieszczono w tab. 3.2. Umieszczone tu najwyższe dobowe wartości wzrostów stanu wody, zgodnie z zasadą przyjętą w miesięcznych Biuletynach PSHM, dotyczą wartości z godz. 6 UTC. Również informacje o wysokości przekroczeń stanu ostrzegawczego i alarmowego podawane są w Biuletynach PSHM wg stanu na godz. 6 UTC.

Tab. 3.2. Najwyższe dobowe przyrosty stanu wody (40 cm i wyższe, o 6 UTC)

Data	Województwo	Rzeka	Stacja hydrologiczna	Przyrost stanu 6 UTC [cm]	
1 IV	małopolskie	Wisła	Grabie	136	
	małopolskie	Wisła	Sierostawice	113	
	małopolskie	Wisła	Popędzyna	104	
	małopolskie	Wisła	Jagodniki	99	
	małopolskie	Wisła	Czernichów-Prom	81	
	śląskie	Odra	Racibórz-Miedonia	74	
	małopolskie	Wisła	Karsy	73	
	śląskie	Odra	Olza	46	
	dolnośląskie	Bystrzyca	Lubachów	44	
	śląskie	Olza	Łaziska	40	
2 IV	śląskie	Olza	Łaziska	40	
	dolnośląskie	Odra	Malczyce	74	
7 IV	podkarpackie	Wisła	Koło	73	
	kujawsko-pomorskie	Wda	Krąplewice	63	
	zachodniopomorskie	Morze Bałtyckie	Świnoujście	56	
	zachodniopomorskie	Morze Bałtyckie	Mrzeżyno	53	
	zachodniopomorskie	Morze Bałtyckie	Kołobrzeg	52	
	pomorskie	Morze Bałtyckie	Puck	47	
	zachodniopomorskie	Morze Bałtyckie	Dziwnów	47	
8 IV	pomorskie	Zalew Wiślany	Nowy Świat - Zalew	46	
	małopolskie	Wisła	Grabie	50	
	pomorskie	Szarpawa	Tujsk	47	
	dolnośląskie	Bystrzyca	Lubachów	44	
	warmińsko-mazurskie	Nogat	Nowotki	43	
	pomorskie	Tuja	Nowy Dwór Gdański	42	
11 IV	pomorskie	Zalew Wiślany	Oślonka	41	
	śląskie	Soła	Czaniec-Kobiernice	57	
	13 IV	kujawsko-pomorskie	Wda	Krąplewice	54
	15 IV	kujawsko-pomorskie	Brda	Smukała	42
	18 IV	małopolskie	Wisła	Grabie	40
	19 IV	dolnośląskie	Kwisa	Nowogrodziec	51
	20 IV	kujawsko-pomorskie	Wda	Krąplewice	79
		dolnośląskie	Bystrzyca	Lubachów	45
	21 IV	podkarpackie	Mleczka	Gorliczyna	44
	23 IV	dolnośląskie	Odra	Malczyce	66
	27 IV	kujawsko-pomorskie	Wda	Krąplewice	53
28 IV	dolnośląskie	Bystrzyca	Lubachów	43	
29 IV	opolskie	Nysa Kłodzka	Skorogoszcz	56	

Najważniejszymi przyczynami wysokich wzrostów stanu wody w rzekach w tym miesiącu były: praca urządzeń hydrotechnicznych oraz spływ wód opadowych i roztopowych, w pierwszej dekadzie miesiąca widoczny był także wpływ północnej cyrkulacji na poziom wody w Bałtyku.

Nie notowano w kwietniu przekroczeń stanu alarmowego, a stan ostrzegawczy został przekroczony tylko na Sękówce w Gorlicach (1-4 IV, maksymalnie o 20 cm).

Ostatniego dnia kwietnia (30 IV) stan wody na Wiśle znajdował się głównie w strefie wody niskiej, tylko w górnym biegu i w ujściowym odcinku lokalnie w strefie wody średniej. Na Narwi występowała strefa wody niskiej. Na Bugu tego dnia stan wody układał się w strefie niskiej. Poziom wody na Odrze układał się głównie w strefie wody niskiej, tylko w górnym

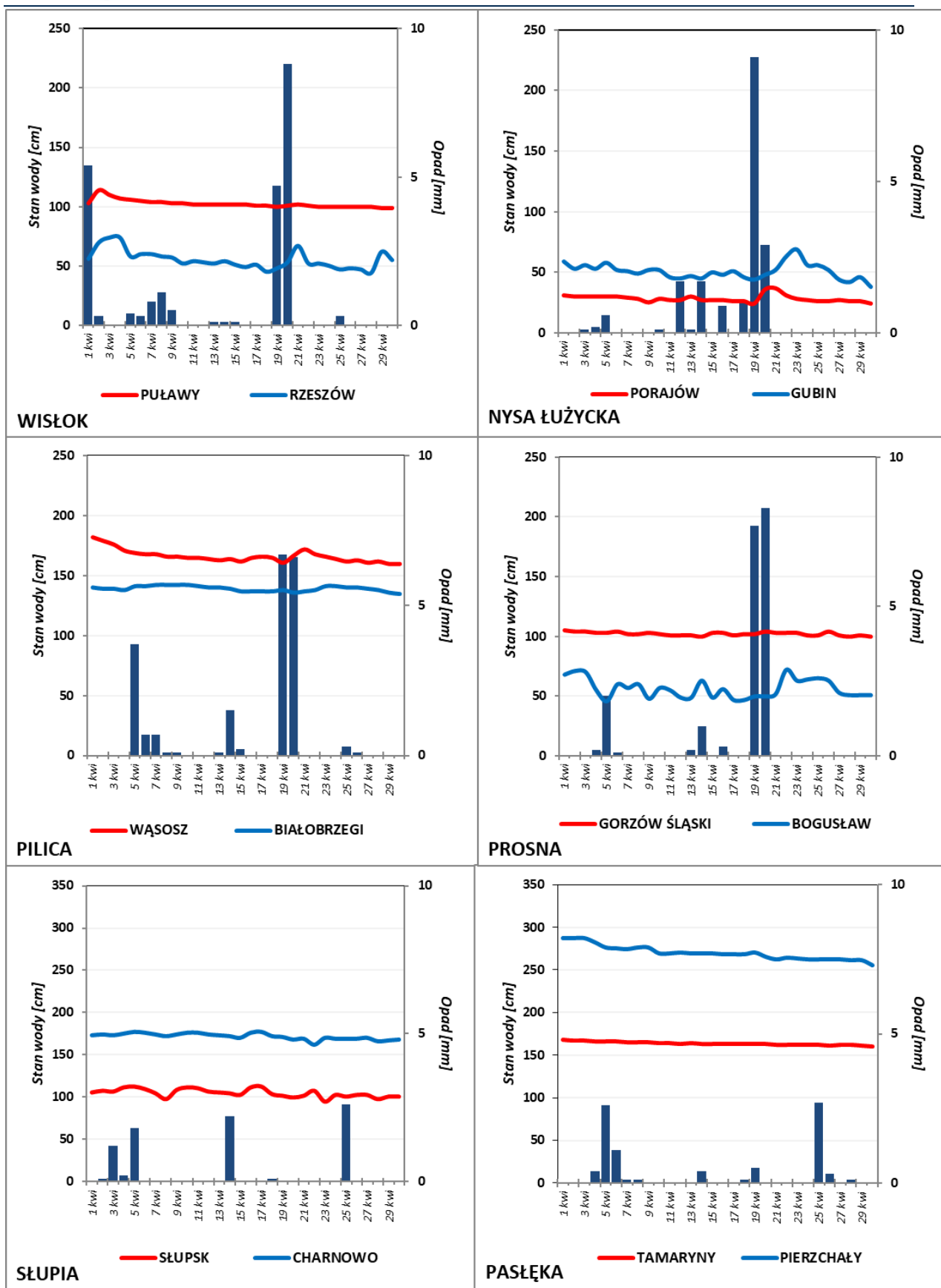
i ujściowym biegu miejscami w strefie wody średniej. Stan wody na Warcie układał się w strefie wody niskiej.

W kwietniu wartości stanu wody niższe lub równe najniższej dotychczas obserwowanej wartości, do roku 2024, odnotowano na 6 stacjach wodowskazowych, po 3 w Dorzeczu Wisły i Odry, najwięcej w Bardzie na Nysie Kłodzkiej, kiedy najniższy stan wody był niższy od najniższego (do 2024 roku) o 2 cm i miało to miejsce od 27 do 30 IV. W poprzednim miesiącu takie wartości odnotowano na 1 stacji.

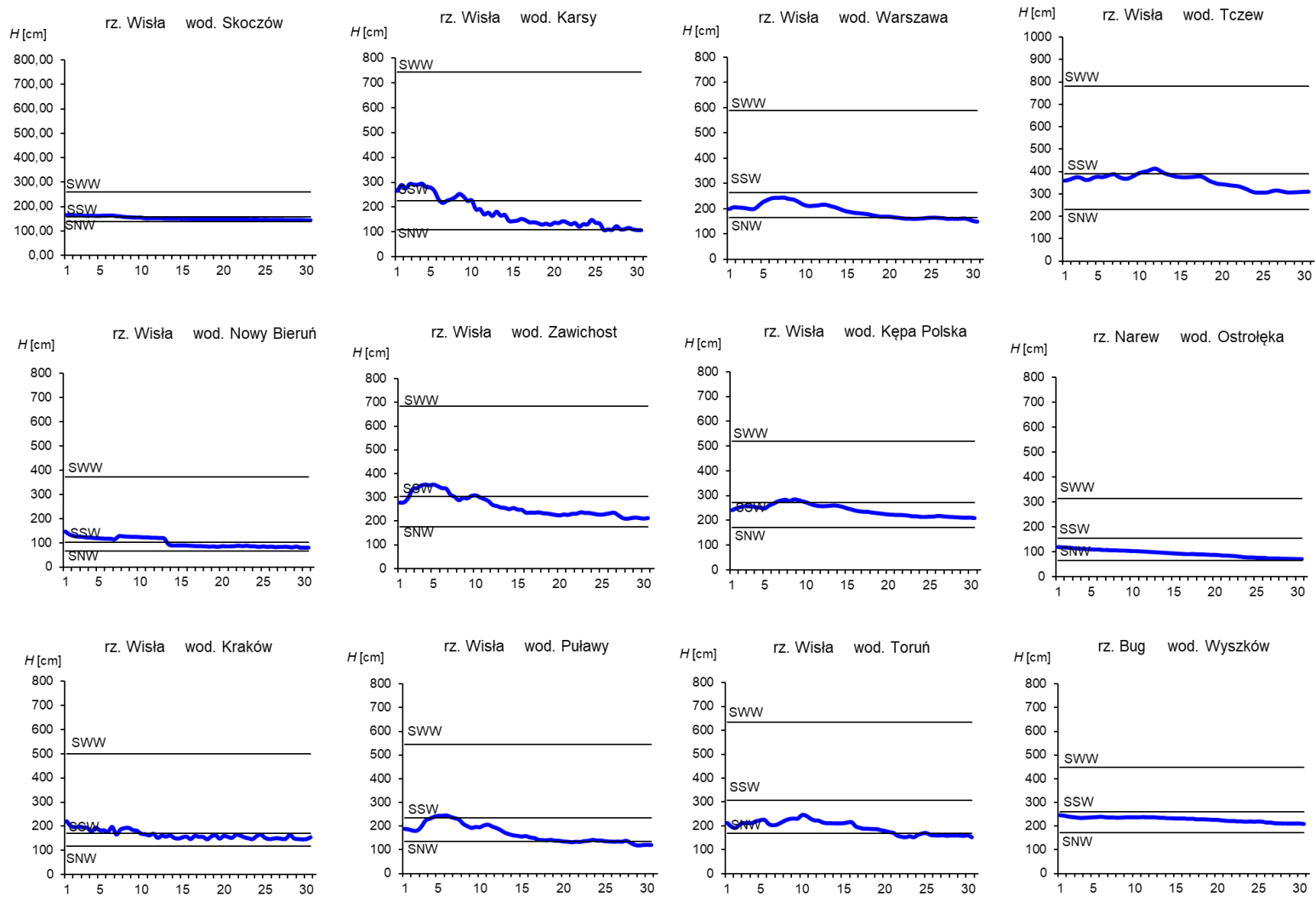
Tab. 3.3. Stacje wodowskazowe, na których stan wody w kwietniu 2026 był niższy od dotychczas obserwowanych wartości (do roku 2024)

Lp.	Rzeka	Stacja wodowskazowa	$H_{\min \text{ abs.}}$ [cm]	Kwiecień 2026 $H_{\min}$ [cm]	$\Delta H$ * [cm]	Data wystąpienia $H_{\min}$ (kwiecień 2026)
<b>Dorzecze Wisły</b>						
1	Grabowa	Grabowo	9	9	0	21, 22, 23, 30
2	Soła	Czaniec-Kobiernice	143	143	0	20, 28
3	Pilica	Spała	15	14	1	28
<b>Dorzecze Odry</b>						
1	Nysa Kłodzka	Międzylesie	86	85	1	26, 27, 28, 29, 30
2	Nysa Kłodzka	Bardo	38	36	2	27, 28, 29, 30
3	Łomnica	Łomnica	222	221	1	12, 13, 14

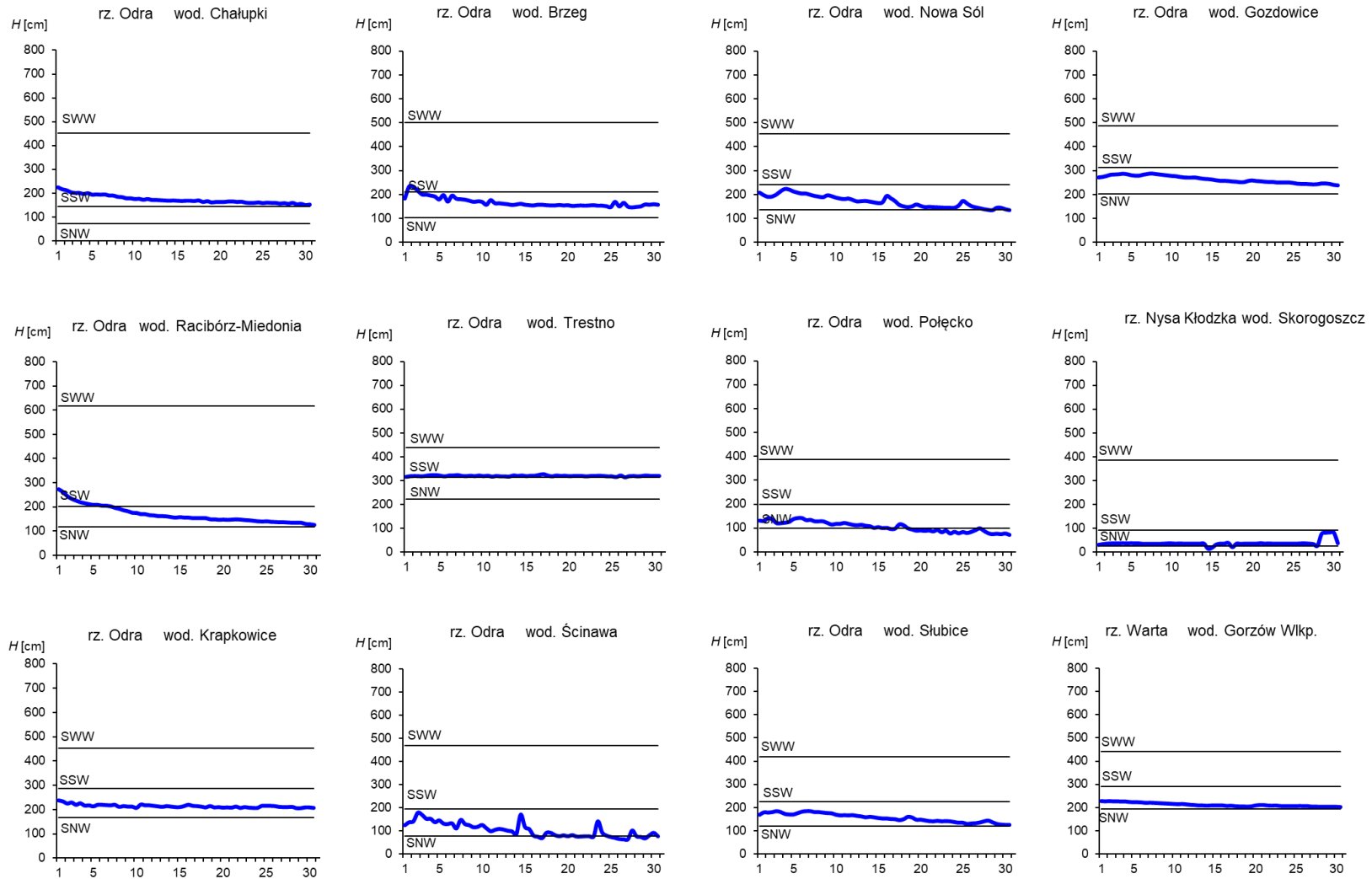
\*  $\Delta H = H_{\min \text{ abs.}} - H_{\min} \text{ (kwiecień 2026)}$



Rys. 3.1. Wysokość opadów średnich [mm] i przebieg stanu wody [cm] dla wybranych zlewni w Polsce w kwietniu 2026



Rys. 3.2. Hydrogramy stanu wody na Wiśle, Narwi i Bugu w kwietniu 2026



Rys. 3.3. Hydrogramy stanu wody na Odrze, Nysie Kłodzkiej i Warcie w kwietniu 2026

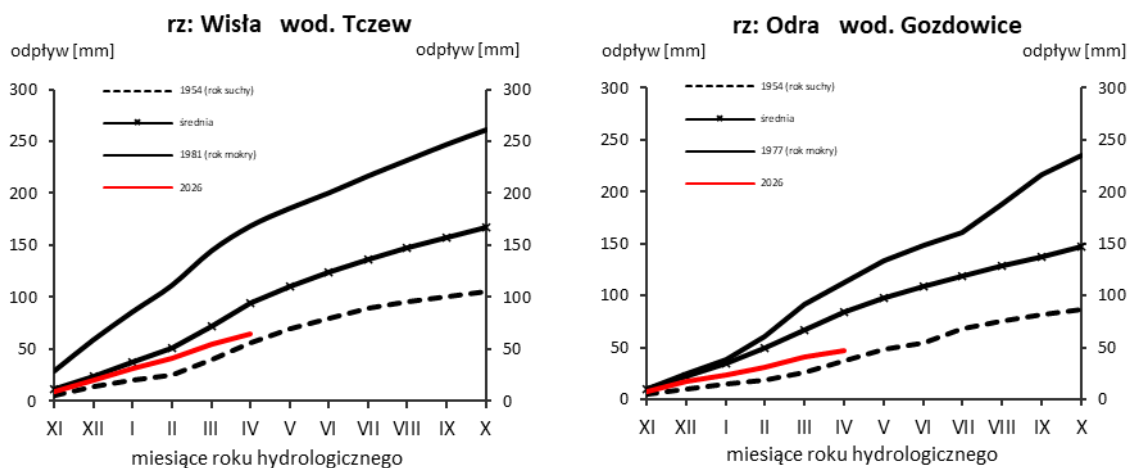
#### 4. Odpływ rzeczny

W kwietniu wartości odpływu w przekrojach rzek dorzecza Wisły i Odry były zróżnicowane, ale przeważnie znacznie niższe od normy.

Odpływ (tab. 4.1) w dorzeczu Wisły wynosił od 23,0% normy w Przemyślu na Sanie do 70,1% normy w Sandomierzu na Wiśle, a w dorzeczu Odry od 22,6% normy w Osetnie na Baryczy do 43,8% w Sieradzu na Warcie. W rzekach Przymorza odpływ stanowił 52,6% odpływu normalnego w Resku na Redze, 68,3% w Słupsku na Słupi, a w Sępopolu na Łynie 48,6%.

W dorzeczu Wisły odpływ kształtował się od 1,22 SNQ w Koźminie na Wieprzu do 4,65 SNQ w Nowym Sączu na Dunajcu, a w dorzeczu Odry od 0,95 SNQ w Nowym Drezdenku na Noteci do 2,90 SNQ w Osetnie na Baryczy. W rzekach Przymorza odpływ wyniósł 1,22 SNQ w Resku na Redze, 1,35 SNQ w Słupsku na Słupi, a w Sępopolu na Łynie 2,04 SNQ.

Odpływ Wisły do Bałtyku wyniósł w kwietniu 9,41 mm, tj. 42,3% normy, Odrą odpłynęło 6,85 mm, tj. 39,7% normy.



Rys. 4.1. Krzywe sumowe odpływu Wisły w Tczewie i Odry w Gozdowicach

Tab. 4.1. Odpływ w kwietniu 2026 w stosunku do wartości charakterystycznych z wielolecia 1951-2020, w wybranych profilach wodowskazowych

Lp	Rzeka	Przekrój	A [km <sup>2</sup> ]	Wartości średnie z okresu 1951 - 2020							Kwiecień 2026						
				$\bar{Q}_4$ [m <sup>3</sup> /s]	$\bar{H}_4$ [mm]	$\bar{V}_4$ [mln m <sup>3</sup> ]	$\bar{Q}_r$ [m <sup>3</sup> /s]	$\bar{H}_r$ [mm]	$\bar{V}_r$ [mln m <sup>3</sup> ]	$\Sigma\bar{k}$	SNQ [m <sup>3</sup> /s]	Q [m <sup>3</sup> /s]	H [mm]	V [mln m <sup>3</sup> ]	n [%]	Q/SNQ	$\Sigma k$
1	2	3	4	5	6	7	8	9	10	11	12	13	14	15	16	17	18
1	Wisła	Sandomierz	31 810	394	32,1	1 021	287	285	9 063	0,500	101	276	22,5	715	70,1	2,74	0,419
2	Wisła	Warszawa	84 945	817	24,9	2 118	564	210	17 801	0,529	228	431	13,2	1 117	52,7	1,89	0,391
3	Wisła	Tczew	193 923	1 666	22,3	4 319	1 032	168	32 539	0,564	417	704	9,41	1 825	42,3	1,69	0,385
4	Dunajec	Nowy Sącz	4 337	101	60,4	262	65,0	472	2 049	0,417	14,9	69,2	41,4	179	68,5	4,65	0,428
5	San	Przemyśl	3 688	92,0	64,6	238	52,0	445	1 641	0,548	10,3	21,2	14,9	55,0	23,0	2,05	0,308
6	Wieprz	Kośmin	10 293	58,8	14,8	152	36,8	113	1 159	0,589	16,0	19,5	4,91	50,5	33,2	1,22	0,324
7	Pilica	Sulejów	3 927	29,4	19,4	76,3	22,0	177	695	0,579	8,98	11,6	7,66	30,1	39,4	1,29	0,341
8	Narew	Ostrołęka	21 921	206	24,4	534	108	156	3 411	0,623	42,7	64,0	7,57	166	31,1	1,50	0,325
9	Bug	Wyszaków	38 394	305	20,6	790	152	125	4 799	0,623	52,3	93,5	6,31	242	30,7	1,79	0,299
10	Łyna	Sępól	3 640	36,7	26,1	95,0	24,5	212	773	0,635	8,74	17,8	12,7	46,1	48,6	2,04	0,581
11	Odra	Racibórz-Miedonia	6 729	95,2	36,7	247	64,3	302	2 029	0,530	15,4	41,3	15,9	107	43,4	2,68	0,363
12	Odra	Ścinawa	29 612	241	21,1	625	177	189	5 589	0,525	62,9	93,5	8,18	242	38,8	1,49	0,310
13	Odra	Nowa Sól	36 840	267	18,8	692	200	171	6 292	0,544	79,4	113	7,95	293	42,3	1,42	0,324
14	Odra	Gozdowice	109 810	730	17,2	1 892	512	147	16 141	0,576	241	290	6,85	752	39,7	1,20	0,330
15	Nysa Kł.	Skorogoszcz*	4 489	49,5	28,6	128	35,7	251	1 127	0,475	9,12	15,3	8,83	39,7	30,9	1,68	0,236
16	Barycz	Osetno	4 580	19,9	11,3	51,6	14,8	102	466	0,657	1,55	4,49	2,54	11,6	22,6	2,90	0,265
17	Bóbr	Żagań	4 255	52,3	31,9	136	37,2	276	1 174	0,561	11,5	15,3	9,32	39,7	29,3	1,34	0,325
18	Warta	Sieradz	8 156	56,0	17,8	145	44,3	171	1 396	0,585	21,0	24,5	7,79	63,5	43,8	1,17	0,364
19	Warta	Poznań	25 909	143	14,3	369	99,4	121	3 135	0,615	39,6	45,9	4,59	119	32,2	1,16	0,348
20	Noteć	N. Drezdenko	15 932	93,1	15,2	241	72,6	144	2 289	0,586	38,4	36,5	5,94	94,6	39,2	0,95	0,318
21	Rega	Resko	1 134	10,6	24,3	27,5	8,70	242	274	0,597	4,57	5,58	12,8	14,5	52,6	1,22	0,383
22	Słupia	Słupsk	1 452	16,8	30,1	43,7	15,6	338	491	0,560	8,52	11,5	20,5	29,8	68,3	1,35	0,459

\* - Przepływ jest pod wpływem gospodarki wodnej w zbiorniku.

#### Objaśnienia do tab. 4.1.

$Q_m$	przepływ średni miesięczny z wielolecia,
$H_m$	odpływ miesięczny średni z wielolecia,
$V_m$	odpływ miesięczny średni z wielolecia,
$m$	indeks miesiąca
$Q_r$	przepływ średni roczny, z wielolecia,
$H_r$	odpływ roczny średni z wielolecia,
$V_r$	odpływ roczny średni z wielolecia,
$r$	indeks roku
$\sum k^-$	wskaźnik sumarycznego odpływu od początku roku hydrologicznego (1 listopada) w stosunku do odpływu średniego rocznego będącego sumą odpływów średnich miesięcznych z wielolecia
SNQ	przepływ średni z minimalnych przepływów rocznych z wielolecia,
$Q$	przepływ średni miesięczny bieżącego roku,
$H$	odpływ miesięczny bieżącego roku,
$V$	odpływ miesięczny bieżącego roku,
$n$	procent w stosunku do wartości średniej z wielolecia $n = Q / \bar{Q} * 100\% = H / \bar{H} * 100\% = V / \bar{V} * 100\%$ ,
$k$	wskaźnik odpływu miesięcznego w stosunku do odpływu średniego rocznego $k = H / \bar{H}_r = V / \bar{V}_r$
$\sum k$	wskaźnik sumarycznego odpływu od początku roku hydrologicznego (1 listopada) do końca danego miesiąca w stosunku do odpływu średniego rocznego



W kwietniu 2026, w porównaniu do ubiegłego miesiąca, średni poziom wody we wszystkich kontrolowanych jeziorach niemal nie zmienił się, zmiana ta wyniosła zaledwie -0,4 cm. Kwietniowy średni poziom wody dla wszystkich kontrolowanych jezior był wynikiem zmian w poszczególnych akwenach: w siedmiu jeziorach zarejestrowano spadek stanów wody (najbardziej w Sławianowskim i Dadaju po 7 cm), w trzech – wzrost (maksymalnie w piętronym Rajgrodzkim; o +25 cm), a w dwóch stwierdzono brak zmiany (Powidzkie i Dejguny). Woda w większości zbiorników utrzymywała się w strefie stanów wysokich (osiem jezior), a w dużo mniejszej ilości akwenów - w strefie stanów niskich (cztery jeziora). Największe przekroczenie stanu średniego odnotowano w Powidzkim (59 cm), a w kolejnych gdzie zanotowano przekroczenia – były one zdecydowanie niższe (maksymalnie było to  $\pm 29$  cm).

Bieżący stan wody w poszczególnych zbiornikach był wyższy od stanu wieloletniego w ośmiu jeziorach, a pozostałych w czterech był on niższy; w tym drugim przypadku mamy do czynienia z mniejszą ilością jezior, ale z większymi wartościami bezwzględnymi. I dlatego też wartość średnia dla wszystkich zbiorników była niższa od wieloletniej o 3 cm.

W miarę ogrzewania się powietrza, wzrastała także temperatura wody w akwenach. W kwietniu średnia temperatura wody wszystkich jezior wyniosła 7,9°C, a jej miesięczny wzrost wyniósł 3,5°C. Największy i najmniejszy wzrost średniej temperatury wody stwierdzono odpowiednio w Jasieniu (+5,7°C) oraz w Raduńskim G. (+1,7°C). Z kolei najwyższą średnią miesięczną temperaturę wody określono dla Sławskiego, a najniższą dla Raduńskiego G. i wyniosły one odpowiednio 10,4°C oraz 5,0°C. Najwyższą i najniższą dobową temperaturę wody zmierzono w tych samych jeziorach i wyniosły one odpowiednio 13,1°C (18 IV) oraz 3,4°C (4 IV). W kwietniu jeziora mazurskie i pomorskie były zdecydowanie chłodniejsze od tych położonych w pozostałej części kraju.

Zjawisk lodowych, ani trwałej pokrywy lodowej, nie zaobserwowano na żadnym kontrolowanym jeziorze.

Tab. 5.2. Stan i temperatura wody jezior w kwietniu 2026

Lp	Jezioro	$\bar{H}_{IV}(1981 - 2020)$			$H_{IV}$			Stan wody	$\Delta H$			$T_{IV}$			$\Delta T$		
		NNW	SSW	WWW	NW	SW	WW		NW	SW	WW	NT	ST	WT	NT	ST	WT
		[cm]			[cm]				[cm]			[°C]			[°C]		
1	Sławskie	157	178	200	186	188	190	wysoki	4	2	1	7,5	10,4	13,1	4,9	4,1	5,3
2	Powidzkie	418	466	511	388	390	391	niski	0	0	0	5,0	7,7	11,2	2,9	3,7	5,8
3	Komorze	125	135	164	117	119	120	niski	-3	-3	-2	5,8	8,6	11,1	3,3	3,9	4,4
4	Sławianowskie	173	209	237	202	210	216	wysoki	-14	-7	-2	5,0	8,2	12,6	2,2	3,5	5,9
5	Ostrowite *)	93	106	119	109	112	114	wysoki	-5	-6	-8	6,6	9,7	12,5	3,1	4,4	5,7
6	Morzycko	179	202	227	208	209	211	wysoki	6	3	3	6,3	9,2	12,1	4,3	3,4	4,7
7	Rajgrodzkie	114	201	252	205	209	211	wysoki	45	25	3	5,9	7,4	9,3	4,0	2,8	1,3
8	Dejguny	160	187	218	206	210	214	wysoki	3	0	0	6,2	6,8	7,2	4,3	2,9	0,0
9	Bachotek	216	279	300	281	284	286	wysoki	-5	-5	-6	5,2	7,6	9,2	5,2	3,5	3,1
10	Jasień	130	141	158	130	132	134	niski	-4	-4	-2	4,4	7,4	9,8	3,2	5,7	6,4
11	Raduńskie G.	484	498	521	486	486	487	niski	1	-3	-5	3,4	5,0	7,1	2,3	1,7	2,0
12	Dadaj	108	164	242	169	176	186	wysoki	-2	-7	-1	5,0	6,8	8,8	3,8	2,7	2,2

\*) Ostrowite – wielolecie 2005 – 2020



gdzie:

- $H_m$  - stany charakterystyczne wody w danym miesiącu w wieloleciu 1981-2020  
 $H_m$  - stany charakterystyczne wody w danym miesiącu  
 $\Delta H$  - zmiany stanów charakterystycznych wody w stosunku do poprzedniego miesiąca
- $T_m$  - temperatury charakterystyczne wody w danym miesiącu  
 $\Delta T$  - zmiany temperatur charakterystycznych wody w stosunku do poprzedniego miesiąca
- NNW- najniższy stan w danym miesiącu w wieloleciu 1981-2020  
SSW- średni stan w danym miesiącu w wieloleciu 1981-2020  
WWW- najwyższy stan w danym miesiącu w wieloleciu 1981-2020  
NW- najniższy stan w danym miesiącu  
SW- średni stan w danym miesiącu  
WW- najwyższy stan w danym miesiącu  
NT - najniższa temperatura wody w danym miesiącu  
ST - średnia temperatura wody w danym miesiącu  
WT- najwyższa temperatura wody w danym miesiącu

***Rozpowszechnianie powyższych danych  
wyłącznie  
z podaniem IMGW-PIB jako źródła informacji***



**INSTYTUT METEOROLOGII I GOSPODARKI WODNEJ  
PAŃSTWOWY INSTYTUT BADAWCZY**

01-673 Warszawa, ul. Podleśna 61

Internet: <http://www.imgw.pl>

e-mail: [biuletyn@imgw.pl](mailto:biuletyn@imgw.pl)